

# Ondas EM en medios materiales:

(I)

$$\nabla^2 \vec{E} + \omega^2 \epsilon \mu \vec{E} + j\omega \sigma \mu \vec{E} = 0$$

En el interior de la guía  $\sigma = 0$  y por tanto la propagación de  $E$  cumple:

$$\nabla^2 \vec{E} + \omega^2 \epsilon \mu \vec{E} = 0$$

La solución a esa ecuación es:  $E(x, y, z) = E(x, y) \cdot e^{-j\beta z}$

$$\nabla^2 E(x, y) + (\omega^2 \epsilon \mu - \beta^2) E(x, y) = 0$$

En coordenadas rectangulares, el laplaciano puede escribirse  $\nabla^2 E = (\nabla_{xy}^2 + \nabla_z^2) E$

Se llega así a las expresiones:

$$(\omega^2 \mu \epsilon - \beta^2) E_x = -j\omega\mu \frac{\partial H_z}{\partial y} - j\beta \frac{\partial E_z}{\partial x}$$

$$( ) E_y = j\omega\mu \frac{\partial H_z}{\partial x} - j\beta \frac{\partial E_z}{\partial y}$$

$$( ) H_x = j\omega\epsilon \frac{\partial E_z}{\partial y} - j\beta \frac{\partial H_z}{\partial x}$$

$$( ) H_y = -j\omega\epsilon \frac{\partial E_z}{\partial x} - j\beta \frac{\partial H_z}{\partial y}$$

Jugando con estas expresiones consigo llegar a que: Obteniendo  $E_z$  y  $H_z$  puedo llegar a obtener el resto:  $E_x, E_y, H_x, H_y$ . De manera que el objetivo será resolver:

$$\left( \frac{\partial^2}{\partial x^2} + \frac{\partial^2}{\partial y^2} + \omega^2 \mu \epsilon - \beta^2 \right) E_z = 0$$

$$\left( \right) H_z = 0$$

Las soluciones a estas ecuaciones pueden ser de forma trivial <sup>(II)</sup>

$E_z = 0 \Rightarrow$  Modos TE (pues solo existirán  $E_x$   $E_y$  que son transversales a la dirección de propagación  $Z$ )

$H_z = 0 \Rightarrow$  Modos TM

$E_z = 0$  y  $H_z = 0 \Rightarrow$  Modos TEM (no son posibles en guías conductoras huecas)

\_\_\_\_\_ 0 \_\_\_\_\_

Modos TM ( $H_z = 0$ )

Para resolver la ecuación:  $\left( \frac{\partial^2}{\partial x^2} + \frac{\partial^2}{\partial y^2} + \omega^2 \mu \epsilon - \beta^2 \right) E_z = 0$

Apliquemos separación de variables:  $E_z(x, y) = X(x) \cdot Y(y)$

Quedando:  $Y \frac{d^2 X}{dx^2} + X \cdot \frac{d^2 Y}{dy^2} + (\omega^2 \mu \epsilon - \beta^2) X \cdot Y = 0$

Divido todo entre  $X \cdot Y$  para obtener grupos de únicas variables y queda:

$$\underbrace{-\frac{1}{X} \frac{d^2 X}{dx^2}}_{f(x)} = \underbrace{\frac{1}{Y} \frac{d^2 Y}{dy^2} + \omega^2 \mu \epsilon - \beta^2}_{f(y)}$$

De forma que:

$$-\frac{1}{X} \frac{d^2 X}{dx^2} = +K_x^2 \Rightarrow X = A \cdot \sin K_x X + B \cos K_x X$$

$$-\frac{1}{Y} \frac{d^2 Y}{dy^2} = K_y^2 \Rightarrow Y = C \cdot \sin K_y \cdot y + D \cos K_y \cdot y$$

Aplicando las condiciones de contorno obtengo A, B, C, D.

(I)

$$* E_z(x, y) \Big|_{x=0; x=a} = 0 \quad \left\{ \begin{array}{l} \Rightarrow B=0 \\ \Rightarrow K_x = \frac{m\pi}{a} \end{array} \right. \quad m=1, 2, \dots$$

$$* E_z(x, y) \Big|_{y=0; y=b} = 0 \quad \left\{ \begin{array}{l} \Rightarrow D=0 \\ \Rightarrow K_y = \frac{n\pi}{b} \end{array} \right. \quad n=1, 2, \dots$$

no pueden tomar valor 0  
pues haría  $E_z=0$ .

Quedando :

$$E_z(x, y) = E_0 \cdot \text{sen } K_x x \cdot \text{sen } K_y y$$

Sustituyendo  $E_z$  en las ecuaciones, obtengo  $E_x, E_y$  :

$$E_x = -j\beta \frac{\left(\frac{m\pi}{a}\right)}{\left(\frac{m\pi}{a}\right)^2 + \left(\frac{n\pi}{b}\right)^2} \cdot E_0 \cdot \cos\left(\frac{m\pi}{a}\right)x \cdot \text{sen}\left(\frac{n\pi}{b}\right)y$$

$$E_y = -j\beta \frac{\left(\frac{n\pi}{b}\right)}{\left(\frac{m\pi}{a}\right)^2 + \left(\frac{n\pi}{b}\right)^2} \cdot E_0 \cdot \text{sen}\left(\frac{m\pi}{a}\right)x \cdot \cos\left(\frac{n\pi}{b}\right)y$$

y también el resto :  $H_x, H_y$  ya que  $H_z = 0$

$$H_x = j\omega\epsilon \frac{\left(\frac{n\pi}{b}\right)}{\left(\frac{m\pi}{a}\right)^2 + \left(\frac{n\pi}{b}\right)^2} \cdot E_0 \cdot \text{sen}\left(\frac{m\pi}{a}\right)x \cdot \cos\left(\frac{n\pi}{b}\right)y$$

$$H_y = -j\omega\epsilon \frac{\left(\frac{m\pi}{a}\right)}{\left(\frac{m\pi}{a}\right)^2 + \left(\frac{n\pi}{b}\right)^2} \cdot E_0 \cdot \cos\left(\frac{m\pi}{a}\right)x \cdot \cos\left(\frac{n\pi}{b}\right)y$$

Los valores de  $m$  y  $n$  nos indican el tipo de modo  $TM_{m,n}$ .

(V)

Relación de dispersión de la guía :  $\beta = \sqrt{\omega^2 \mu \epsilon - k_x^2 - k_y^2}$

Tendremos propagación de la onda  $e^{-i\beta z}$  cuando el valor de  $\beta$  sea real. Si el valor de  $\beta$  es imaginario, no tendremos propagación de la onda. Por tanto el límite para la propagación de un modo en una guía es :

$$\omega^2 \mu \epsilon = k_x^2 + k_y^2$$

de donde obtenemos la denominada frecuencia de corte

$$f_{c_{m,n}} = \frac{1}{2\sqrt{\mu \epsilon}} \sqrt{\left(\frac{m}{a}\right)^2 + \left(\frac{n}{b}\right)^2}$$

frecuencias mayores que  $f_c$  se propagarán. frecuencias menores que  $f_c$  no se propagarán por la guía.

$$\lambda_{g_{m,n}} = \frac{\lambda}{\sqrt{1 - \left(\frac{f_{c_{m,n}}}{f}\right)^2}}$$

longitud de la onda dentro de la guía.

El modo de menor frecuencia de corte, se denomina Modo dominante o fundamental.

La velocidad de fase de la onda que se propaga en la guía es:

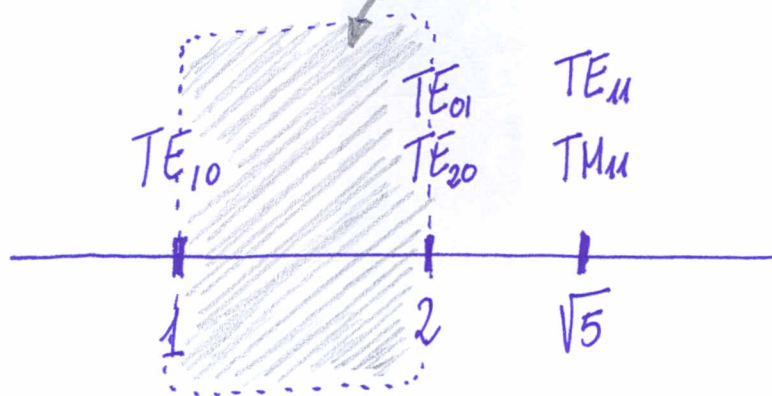
$$u_p = \frac{u}{\sqrt{1 - \left(\frac{f_c}{f}\right)^2}}$$

La velocidad de fase en una guía de ondas es siempre mayor que "fuera de la guía", y dependen de la frecuencia, son medios de transmisión DISPERSIVOS.

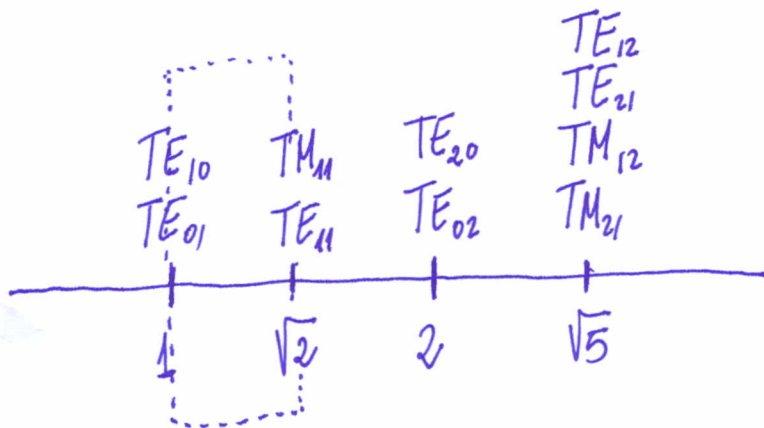
El modo fundamental en guías rectangulares conductoras es el  $TE_{10}$

Amplio margen de  $f$  con un unico modo dom.

$$\frac{f_c}{f_{c_{TE_{10}}}}$$



$$b = \frac{a}{2}$$



$$b = a$$

Las dimensiones de las guías afectan a los modos que por ellas pueden propagarse.

Modos con las mismas frecuencias de corte: MODOS DEGENERADOS.

# Modos TEM

En guías conductoras "huecas" no existen modos TEM.

## Potencia transmitida por una Guía

$$S_{m,n}^{TE} = |A_{m,n}|^2 \cdot \frac{\left(\frac{m\pi}{a}\right)^2 + \left(\frac{n\pi}{b}\right)^2}{2\eta \epsilon^2} \left(\frac{a}{\epsilon_{0m}}\right) \left(\frac{b}{\epsilon_{0n}}\right) \sqrt{1 - \left(\frac{f_{cm,n}}{f}\right)^2}$$

donde  $\epsilon_{0q} \begin{cases} 1 & q=0 \\ 2 & q \neq 0 \end{cases}$

$$S_{m,n}^{TM} = |B_{m,n}|^2 \frac{\left(\frac{m\pi}{a}\right)^2 + \left(\frac{n\pi}{b}\right)^2}{2\mu^2} \left(\frac{a}{2}\right) \left(\frac{b}{2}\right) \sqrt{1 - \left(\frac{f_{cm,n}}{f}\right)^2}$$

$$S_{TOTAL} = \sum_{m,n} S_{m,n}^{TE} + \sum_{m,n} S_{m,n}^{TM}$$

# Atemuación

Las pérdidas en una guía conductora, se deben a dos causas:

- a) El dieléctrico interior no es perfecto. ( $\alpha_d$ )
- b) El conductor de las paredes no es perfecto ( $\alpha_c$ )

$$\alpha_{total} = \alpha_c + \alpha_d$$

## Pérdidas dieléctricas: $\alpha_d$

Un dieléctrico real:  $\epsilon = \epsilon' - j\epsilon'' = \epsilon - j \frac{\sigma}{\omega} = \epsilon \left[ 1 - j \frac{\sigma}{\omega \epsilon} \right]$

Sustituyendo en  $\beta = \sqrt{\omega^2 \mu \epsilon - \left(\frac{m\pi}{a}\right)^2 - \left(\frac{n\pi}{b}\right)^2}$

La parte imaginaria es la relacionada con las pérdidas y la atenuación y queda:

$$\alpha_{d_{m,n}} = \frac{1}{2} \frac{\sigma \cdot \eta}{\sqrt{1 - \left(\frac{fc}{f}\right)^2}}$$

¡Aumenta con  $\sigma$  y con la frecuencia  $f$ !  
Cuanto más dieléctrico sea y menor  $f$ , mejor

Otra expresión:

$$\alpha_{d_{m,n}} = \underbrace{\frac{\epsilon''}{\epsilon'} \frac{\pi}{\lambda} \left(\frac{\lambda_g}{\lambda}\right)}_{\text{Np/m}} = \underbrace{\frac{27.27}{\lambda} \frac{\epsilon''}{\epsilon'} \left(\frac{\lambda_g}{\lambda}\right)}_{\text{dB/m}}$$

# Atenuación (Pérdidas)

Pérdidas debidas a

- El dieléctrico interior no es perfecto ( $\alpha_d$ )
- El conductor no es perfecto ( $\alpha_c$ )

Pérdidas Dielectricas (Aumentan con  $\sigma$  y con  $f$ )

Modos TM  
Modos TE  $\rightarrow$ 

$$\alpha_d = \frac{1}{2} \frac{\sigma \eta}{\sqrt{1 - \left(\frac{f_c}{f}\right)^2}} = \frac{27.27}{\lambda} \frac{\epsilon''}{\epsilon'} \left(\frac{\lambda_g}{\lambda}\right)$$

en dB/m

Pérdidas por conducción (Aumentan con  $f$  y  $\frac{1}{\sigma}$ )

Modos TM  $\rightarrow$ 

$$(\alpha_c)_{TM} = \frac{2 R_s \sqrt{\frac{\pi \mu}{\epsilon}} \sqrt{f}}{a \cdot b \cdot \eta \cdot \left[ \sqrt{1 - \left(\frac{f_c}{f}\right)^2} \right]} \cdot \frac{m^2 b^3 + n^2 a^3}{(mb)^2 + (na)^2}$$

Modos TE  $\rightarrow$

$$\alpha_c = \frac{2 R_s}{b \cdot \eta \cdot \sqrt{1 - \left(\frac{f_c}{f}\right)^2}} \left[ \left( \epsilon_m + \epsilon_n \frac{b}{a} \right) \cdot \left(\frac{f_c}{f}\right)^2 + \frac{b}{a} \left[ 1 - \left(\frac{f_c}{f}\right)^2 \right] \cdot \frac{m^2 a b + (n a)^2}{(m b)^2 + (n a)^2} \right]$$

Conclusiones  
 Para evitar al máximo las pérdidas donde  $\epsilon_p \begin{cases} 2 & p=0 \\ 1 & p \neq 0 \end{cases}$

- \* Dieléctrico muy aislante
- \* Conductor muy buen conductor.
- \* Frecuencias no muy altas.



For an X-band WR waveguide with inner dimensions  $a = 0.9$  in. (2.286 cm) and  $b = 0.4$  in. (1.016 cm), made of copper ( $\sigma = 5.7 \times 10^7$  S/m) and filled with a lossless dielectric, we can plot the attenuation coefficient  $(\alpha_c)_{10}$  (in Np/m and dB/m) for  $\epsilon = \epsilon_0$ ,  $2.56\epsilon_0$ , and  $4\epsilon_0$  as shown in Figure 8-10. The attenuation

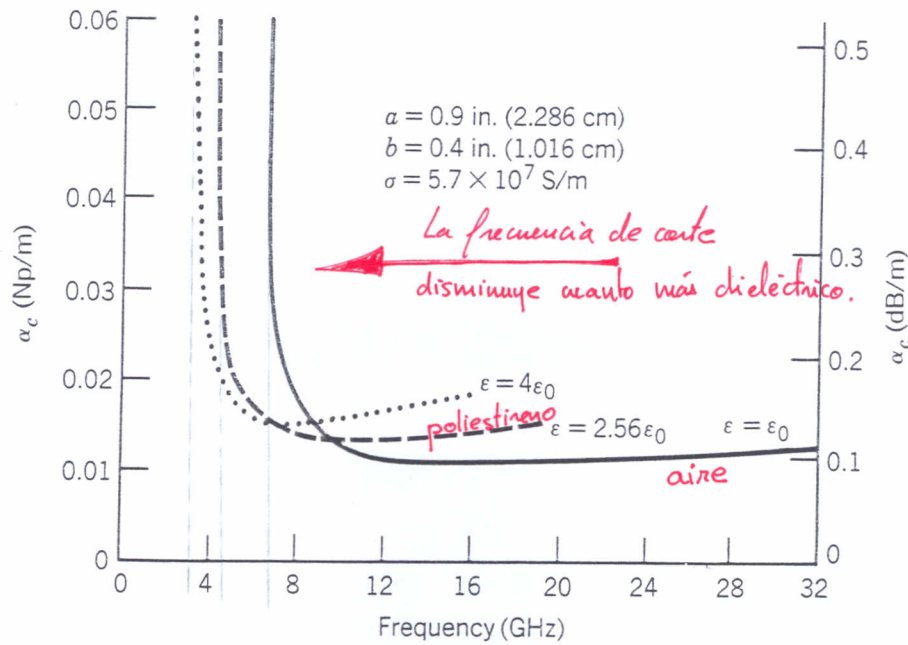


FIGURE 8-10  $TE_{10}$  mode attenuation constant for the X-band rectangular waveguide.

### 3.3 The $TE_{10}$ Wave in a Rectangular Guide

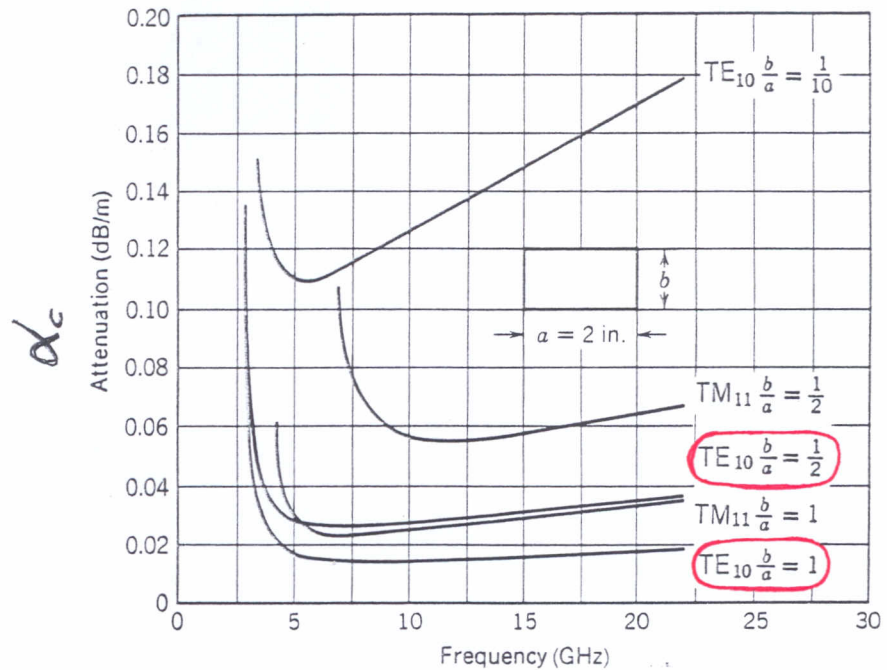


Fig. 3.7c Attenuation due to copper losses in rectangular waveguides of fixed width.

- \* Observar el aumento de  $\alpha$  con la frecuencia
- \* Las dimensiones de la guía afectan a las atenuaciones.
- \* Observar el modo de menor atenuación, para unas dimensiones dadas.